

# شبیه سازی فرآیند طبقه بندی ذرات سیمان در جداکننده های هوایی

سمیرا رشیدی<sup>۱</sup>; اکبر فرزانگان؛ مهدی ایران نژاد

## چکیده

جداکننده های هوایی در مدار های بسته آسیاکردن کلینکر (سیمان) کاربرد زیادی دارند. توزیع اندازه ذرات محصول سیمان و در نتیجه کیفیت آن شدیداً تابع چکونگی عملکرد جداکننده های هوایی است. افزایش بهره وری ناشی از بهینه سازی عملکرد این دستگاه ها به کاهش مصرف انرژی و افزایش ظرفیت تولید و کیفیت محصول نهایی سیمان می شود. در این مقاله، نویسنده کان نتایج مطالعات و بررسی های انجام شده را در رابطه با مدل سازی فرآیند جدایش اندازه ذرات در جداکننده های هوایی و توسعه بهترین الگوریتم برای شبیه سازی عملکرد آنها بر پایه روابط معتبر گزارش شده در مقالات ارایه کرده اند. این الگوریتم اساس شبیه ساز ASSIM است که به زبان ویژوال بیسیک برنامه نویسی شده است و امکان بهینه سازی شرایط عملیاتی را بر اساس منحنی بازدهی؛ که معیار کارآیی جداکننده های هوایی می باشد، در اختیار می گذارد. با استفاده از داده های واقعی مربوط به جداکننده هوایی پویای در حال فعالیت در مدار آسیاکردن کلینکر کارخانه سیمان سفید جی.کی در هند، اعتبار و دقت ASSIM ارزیابی شد به گونه ای که مجموع حداقل مربعات مقادیر تخمینی و واقعی کمتر از ۰.۰۱ می باشد که در محدوده قابل قبول مهندسی قرار دارد.

## کلمات کلیدی

جداکننده های هوایی، مدار آسیاکنی، جدایش ذرات، مدل سازی، شبیه سازی

## Simulation of Cement Particles Classification Process in Air Separators

S. Rashidi; A. Farzanegan; M. Irannajad

### ABSTRACT

Air separators have many applications in clinker (cement) closed grinding circuits. Particle size distributions of cement product and consequently its quality are dependent on performance of air separators. The increasing Productivity that results from performance optimization of these devices causes energy utilization decreasing and increasing of production capacity and final cement product. In this paper, results of studies and researches derived by authors about modeling of particle size classification in air separators and developing the best algorithm for simulation of their performance on the base of valid relations reported in papers are presented. This algorithm is the basis of ASSIM (simulator) implemented in Visual Basic and provides optimization possibility of operating conditions on the base of efficiency curve that is criterion of air separators performance. Validity and precision of ASSIM about simulation of air separators are evaluated by using actual data of dynamic air separator operating in clinker grinding circuit of J.K. White Cement Company in India where sum of least squares between estimated and actual data are less than 0.01 that is in acceptable engineering level.

<sup>i</sup> دانشجوی کارشناسی ارشد فرآوری مواد معدنی؛ دانشگاه صنعتی امیر کبیر؛ [samira.rashidi@gmail.com](mailto:samira.rashidi@gmail.com)

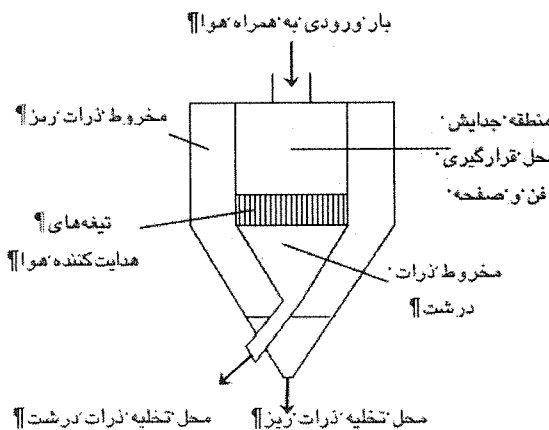
<sup>ii</sup> استادیار دانشکده مهندسی معدن؛ دانشگاه کاشان؛ [a.farzanegan@kashanu.ac.ir](mailto:a.farzanegan@kashanu.ac.ir)

<sup>iii</sup> استادیار دانشکده مهندسی معدن، متالورژی و نفت؛ دانشگاه صنعتی امیر کبیر؛ [iranajad@aut.ac.ir](mailto:iranajad@aut.ac.ir)

## KEYWORDS

Air Separators, Grinding Circuits, Particle Size Classification, Modeling, Simulation.

جاداکننده‌های پویا به علت وجود پرههای راهنمایی می‌توان تنظیمات را بهتر انجام داد و به علاوه، ذرات به طور یکسان تحت تأثیر نیروهای عمل کننده در این دستگاهها قرار می‌گیرند. جاداکننده‌های پویا به علت بازدهی بالاتر و مصرف انرژی کمتر متداول‌تر هستند. شکل (۱) طرح ساده یک جاداکننده پویا را نشان می‌دهد:



شکل (۱): طرح ساده یک جاداکننده پویا

ایجاد تغییرات در ساختمان دستگاه‌های جاداکننده هوایی نصب شده در کارخانه‌های سیمان برای بهینه‌سازی پارامترهای ساختاری آنها همواره با محدودیت همراه است و در ضمن، بهینه نبودن شرایط عملیاتی جادایش مثل درصد جامد در هوا، سرعت هوا، سرعت گردندۀ<sup>۲</sup> و درصد بازبودن فن می‌تواند به بازدهی بسیار پایین عملیات طبقه‌بندی ذرات منجر شود.

مدل سازی و شبیه‌سازی ابزار ارزشمندی برای بهینه‌سازی پارامترهای عملیاتی مدارهای فرآوری بخصوص مدار آسیاها هستند که می‌توانند برای دستیابی به کیفیت رضایت‌بخش محصول نهایی سیمان، افزایش ظرفیت و بازدهی و کاهش مصرف انرژی بیشترین تأثیر را داشته باشند. مدل سازی بر اساس مجموعه‌ای از روابط ریاضی اثبات شده صورت می‌گیرد که پیش‌بینی نتایج حاصل از فرآیند را که در دستگاه مورد نظر رخ می‌دهد، براحتی در اختیار می‌گذارد.

## ۲- مدل‌های جاداکننده‌های هوایی

کارآئیی جاداکننده‌های هوایی به وسیله منحنی عملکرد طبقه‌بندی (جادایش) یا منحنی بازدهی فرآیند جادایش (از این به بعد به اختصار منحنی بازدهی اطلاق می‌شود) بررسی و ارزیابی شود. برای رسم منحنی بازدهی، نخست لازم است

## ۱- مقدمه

فرآیند تولید سیمان تقریباً ۲ درصد کل انرژی مصرفی دنیا را به خود اختصاص می‌دهد و حدود ۴۰ درصد از این میزان انرژی برای آسیا کردن کلینکر سیمان مصرف می‌شود [۷]. این موضوع آشکارا نیاز به کاهش مصرف انرژی و افزایش بازدهی و کیفیت در فرآیند آسیاکردن کلینکر را نشان می‌دهد. در اواخر قرن نوزدهم با ورود آسیاها لوله‌ای به مدارهای آسیایی کلینکر در صنعت سیمان و تولید حجم بالایی از ذرات بسیار ریز، استفاده از جاداکننده‌های هوایی اهمیت فراوانی پیدا کرد. با توجه به مقدار انرژی قابل توجهی که در فرآیند آسیاکردن مصرف می‌شود، عملکرد جاداکننده‌های هوایی؛ که جادایش مواد را از نظر اندازه برعهده دارد، نقش مهمی در جلوگیری از خردایش مجدد ذرات ریز و بسیار ریز سیمان و در نتیجه افزایش ظرفیت آسیاکردن مدار دارد. بنابراین توزیع اندازه ذرات مربوط به جریان مواد درشتدانه از اهمیت فوق العاده‌ای در کنترل عملکرد مدار آسیا برخوردار است و همچنین توزیع اندازه ذرات مربوط به جریان ریزدانه خروجی از جاداکننده هوایی در میزان کیفیت محصول نهایی سیمان از اهمیت یکسانی برخوردار است. از سوی دیگر، به دلیل چگونگی نحوه خردشدن مواد در آسیاها، بازدهی بخش آسیاکردن کارخانه‌های سیمان در بهترین حالت ۱٪ برآورد شده است که مستلزم بهینه‌سازی شرایط طراحی ساختمان دستگاه و شرایط عملیاتی می‌باشد [۱].

در یک جاداکننده هوایی، ذرات خروجی از آسیا پس از ورود به محفظه دستگاه تحت تأثیر سه نیروی عمل کننده کششی، اینرسی (گریز از مرکز) و گرانشی قرار می‌گیرند. در صورتی که ذره به حد کافی کوچک باشد تحت تأثیر نیروهای کششی و اینرسی همراه جریان هوا از جاداکننده خارج می‌شود و در صورتی که به اندازه کافی درشت باشد تحت تأثیر نیروی گرانشی خود از مسیر ذرات درشت خارج می‌گردد. احتمال ورود برخی از ذرات به جریان درشتدانه یا جریان ریزدانه یکسان است (۵۰٪) که اندازه این ذرات معادل حد جادایش می‌باشد.

به طور کلی، امروزه دو نوع جاداکننده هوایی در کارخانه‌های سیمان استفاده می‌شوند که جاداکننده هوایی ایستا و پویا، نام دارند. در جاداکننده‌های ایستا هیچگونه اجزای متحرکی وجود ندارد و تنها با تغییر شرایط عملیاتی می‌توان توزیع دانه‌بندی ذرات محصول را تنظیم کرد؛ در حالی که در

$$s = \frac{d_{25}}{d_{75}} \quad (3)$$

پارامترهای دیگری نیز در ارزیابی کارایی جداکننده‌های هوایی علاوه بر شیب منحنی بازدهی بررسی قرار می‌شوند که پدیده «دور زدن»<sup>۷</sup> و پدیده «قلاب ماهی»<sup>۸</sup> نام دارند. پدیده «دور زدن» در جدایش مواد درشتدانه رخ می‌دهد؛ زمانی که ذرات بسیار ریز تحت تأثیر نیروهای عمل کننده قرار نمی‌گیرند و وارد جریان درشتدانه می‌گردند(شکل(۲)). پدیده «قلاب ماهی» به صورت افزایش اولیه (با کاهش ابعاد در منحنی بازدهی جریان درشتدانه می‌شوند، درصد توزیع ذرات در جریان درشتدانه افزایش می‌یابد) در منحنی بازدهی دستگاههای جداکننده دیده می‌شود و به علت تجمع الکتروستاتیک ذرات بسیار ریز بر روی سطح جانبی ذرات درشتدانه می‌باشد (شکل(۲)).

پارامترهای عملیاتی در کاهش یا افزایش مقادیر این دو پدیده بسیار مؤثر هستند. با توجه به اینکه منحنی بازدهی هرگز در ابتدا و انتها به ترتیب به مقادیر صفر و صد نمی‌رسد، بنابراین لازم است تا برای مقایسه منحنی‌های بازدهی مختلف براساس شیب آنها، معیار و مقیاس واحدی وجود داشته باشد که کلسال<sup>۹</sup> [۸] با فرض این که به هنگام دور زدن مواد، همواره درصدی از کلیه اندازه‌ها وارد جریان دور زدن می‌شود، روابط (۴) و (۵) را برای تصحیح روابط تجربی (۱) و (۲) ارائه داد:

$$E_{uc} = \frac{E_{ua} - R_f}{1 - R_f} \quad (4)$$

$$E_{oc} = \frac{E_{oa}}{C} \quad (5)$$

در صورت به کارگیری روابط کلسال، تأثیر عوامل مختلف بر منحنی‌های بازدهی واقعی حذف شده و مقادیر بازدهی تصحیح شده دارای مقیاس واحدی برای مقایسه با یکدیگر می‌باشند.

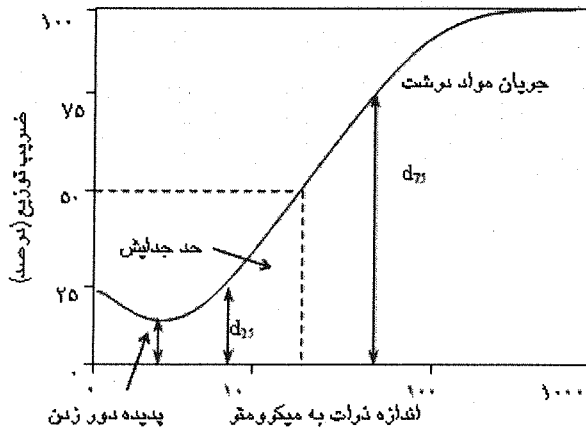
بهترین روش برای مدل سازی انواع جداکننده‌های هوایی تعریف تابعی است که بتواند منحنی بازدهی را تعریف کند. روابط معمولی؛ که برای رسم منحنی بازدهی و برآش داده‌های بازدهی واقعی استفاده می‌شوند، قادر به تعریف دو پدیده «دور زدن» و «قلاب ماهی» نیستند؛ پس محققین مختلفی برای یافتن رابطه‌ای که بتواند علاوه بر برآش منحنی بازدهی به تعريف پدیده‌های حاصل در فرآیند جدایش بپردازد، تلاش کرده‌اند. برخی از محققین براساس رابطه توزیع دانه‌بندی رزین-رمکر<sup>۱۰</sup>؛ که اساس رسم منحنی بازدهی است، به تعريف روابطی پرداختند که روابط پلیت و رید<sup>۱۱</sup> [۱۲]، [۱۱] و تابع

که از جریان‌های اطراف جداکننده‌هوایی در مدار آسیا نمونه‌گیری شود. سپس توزیع اندازه ذرات در نمونه‌ها (با روش‌های مختلف همچون تجزیه سرندي<sup>۱</sup> در محدوده درشتدانه و تجزیه پراش لیزر<sup>۲</sup> در محدوده ریزدانه) تعیین می‌گردد. پس از این مرحله، با استفاده از نرم‌افزارهایی که برای تصحیح داده‌ها<sup>۳</sup> به کار می‌روند، توزیع اندازه ذرات مربوط به جریان‌های مختلف و شدت جریان‌های اندازه‌گیری شده به گونه‌ای که روابط مواد این جرم در اطراف دستگاه در حالت یکنواخت برقرار شوند، تصحیح شود. براساس درصد مواد باقیمانده در بخش‌های ابعادی مختلف در جریان‌های درشتدانه یا ریزدانه نسبت به جریان بار و رودی دستگاه و استفاده از روابط (۱) و (۲)، منحنی بازدهی رسم می‌گردد. این روابط برای تعیین میزان بازدهی واقعی مربوط به جریان درشتدانه یا جریان ریزدانه برای تمامی بخش‌های ابعادی استفاده می‌شوند[۲]:

$$E_{ua} = 100 \left( \frac{U u_i}{F f_i} \right) \quad (1)$$

$$E_{oa} = 100 \left( \frac{O o_i}{F f_i} \right) \quad (2)$$

شکل(۲) منحنی بازدهی ساده شده برای جریان درشتدانه را؛ که با استفاده از رابطه (۱) رسم می‌شود، نشان می‌دهد.



شکل(۲): منحنی ساده شده بازدهی دستگاههای جداکننده هوایی هرچه بازدهی رسم شده شبیه بیشتر دارد و به حالت قائم نزدیک باشد منحنی رسم شده شبیه حذف شده بازدهی بازدهی می‌باشد. بنابراین، با مقایسه شبیه منحنی‌های بازدهی دستگاه؛ که تحت شرایط عملیاتی متفاوت رسم شده‌اند، می‌توان به شرایط عملیاتی بهینه دست یافت. برای محاسبه شبیه منحنی بازدهی یا به عبارت دیگر، محاسبه دقت جدایش (۵) رابطه زیر تعریف می‌شود:[۱۰]:

وایتن [۱۰] از معتبرترین آنها می‌باشد.

این دو رابطه دارای دقت مشابه در تعریف منحنی بازدهی هستند؛ اما امروزه نرم‌افزارهای آماری و صفحه گسترده‌ها، تعیین پارامترهای تابع وایتن را تسهیل کرده‌اند. از طرف دیگر، تابع وایتن پارامتری مجزا برای تعریف پدیده «قلاب ماهی» نیز ارائه داده است. یکی دیگر از خصوصیات تابع وایتن مستقل بودن مقادیر پارامترهای آن از شرایط عملیاتی می‌باشد. تعدادی از محققین در موسسه جی. کی. آم. آر. سی. ۱۲ در استرالیا و دانشگاه حاجت تپه ۱۴ در ترکیه اقدام به استفاده از تابع وایتن برای شبیه سازی انواع جداکننده‌های هوایی اقدام کرده‌اند که نتایج حاصل بخوبی اعتبار این تابع را در شبیه‌سازی انواع جداکننده‌های پویا و ایستا تایید کرده است [۱۰] و [۹]. با در نظر گرفتن خصوصیات این مدل و عدم استفاده از آن در توسعه شبیه‌سازی خاص برای دستگاه‌های جداکننده تا کنون، این رابطه اساس الگوریتم و توسعه شبیه‌ساز ASSIM قرار گرفته است که در این مقاله معرفی شده است [۱۲]. قابل ذکر است که تابع پلیت را دو تن از نویسندهای این مقاله [۴]، [۵] و [۶] در توسعه نرم‌افزار COMSIM استفاده کرده‌اند. تابع وایتن در حالتی که پدیده «قلاب ماهی» در منحنی بازدهی مشاهده نشود به صورت زیر تعریف می‌شود [۱۰]:

$$E_{\text{oo}} = C \left( \frac{\exp(\alpha) - 1}{\exp(\alpha X) + \exp(\alpha) - 2} \right) \quad (6)$$

از آنجا که در رسم منحنی بازدهی برای برخی از دستگاه‌های جداکننده هوایی پدیده «قلاب ماهی» به چشم می‌خورد، رابطه زیر؛ که تأثیر این پدیده را در مدل ریاضی دستگاه در نظر می‌گیرد، استفاده می‌شود [۱۰]:

$$E_{\text{oo}} = C \left[ \frac{(1 + \beta \cdot \beta^* \cdot X)(\exp(\alpha) - 1)}{\exp(\alpha \cdot \beta^* \cdot X) + \exp(\alpha) - 2} \right] \quad (7)$$

ذکر این نکته لازم است که برای تخمین پارامترهای این رابطه  $\alpha$ ،  $\beta$ ،  $\beta^*$ ،  $C$  و  $d_{50c}$  بایستی از روش رگرسیون غیر خطی استفاده شود. مقادیر پارامترهای  $C$  و  $d_{50c}$  را همان گونه که در فهرست علائم معرفی شده‌اند، می‌توان تعیین و به عنوان تخمین اولیه برای شروع رگرسیون استفاده کرد. تخمین مقادیر اولیه سایر پارامترها قاعده مشخصی ندارد و معمولاً اعداد ۲، ۱ و ۳ استفاده می‌شوند.

### ۳- الگوریتم توسعه ASSIM

به دلیل اهمیت دستیابی به بازدهی بالا در فرآیند آسیاکردن

کلینکر سیمان به خصوص از طریق جداکننده‌های هوایی؛ که تعیین کننده کیفیت محصول نهایی سیمان می‌باشد و لزوم تعیین شریط عملیاتی بهینه، نویسندهای مقاله به توسعه شبیه‌ساز ASSIM بر پایه مدل توضیح داده شده در قسمت قبل اقدام کرده‌اند. شکل (۲) الگوریتمی را نشان می‌دهد که اساس توسعه این شبیه‌ساز قرار گرفته است.

اولین مرحله در این الگوریتم جمع‌آوری داده‌های مورد نیاز است که بایستی با بیشترین دقت و با رعایت اصول نمونه‌برداری از سه جریان اصلی اطراف دستگاه جداکننده هوایی (بار ورودی، ریزدانه و درشتدانه) انجام گیرد. به وسیله تجزیه سرندي و تجزیه پراش لیزر توزیع اندازه نمونه‌ها تعیین می‌شود؛ در ادامه به تعديل داده‌ها (موازنۀ جرم) نیاز است تا خطاهای تصادفی؛ که ممکن است به هنگام نمونه‌برداری و آنالیز اندازه پیش آید، حذف گردد. آنچه اهمیت دارد این است که برای حصول نتایج قابل اطمینان بایستی نمونه‌برداری و موازنۀ جرم با حداقل دقت در کلیه مراحل انجام شود. با استفاده از داده‌های اولیه، تابع وایتن کالبیره می‌شود که در صورت اطمینان از مطابقت پیش‌بینی‌های مدل کالبیره شده با داده‌های اولیه، شبیه‌سازی آغاز می‌شود. در مرحله شبیه‌سازی با تغییر شرایط عملیاتی و دادن خصوصیات جدید مربوط به جریان بار ورودی شامل توزیع دانه‌بندی و شدت جریان، خصوصیات جریان‌های ریزدانه و درشتدانه شامل توزیع دانه‌بندی و شدت جریان آنها به همراه بازیابی پیش‌بینی می‌شود. در این مرحله می‌توان با تغییر یک پارامتر و ثابت نگه داشتن سایر پارامترها تعیین کرد تأثیر کدام پارامتر بیشتر است و در نتیجه، شرایط عملیاتی بهینه را تعیین کرد.

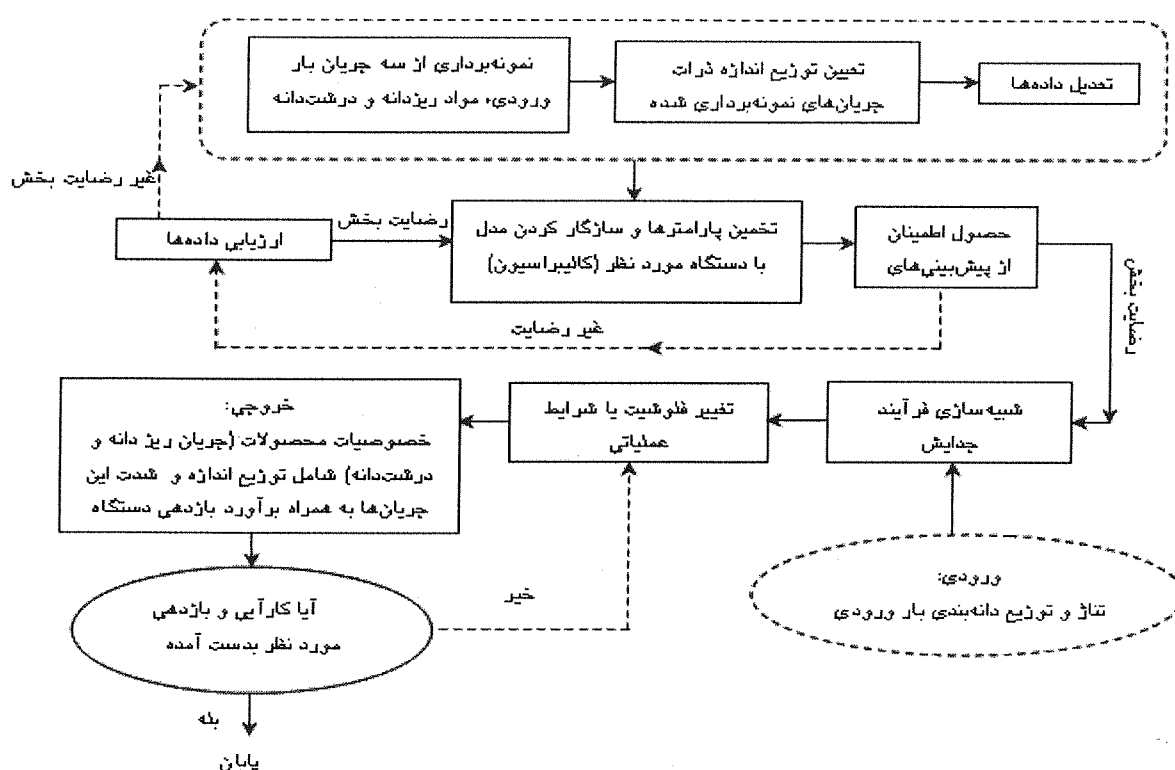
### ۴- معرفی محیط شبیه‌ساز ASSIM

لغت ASSIM مخفف معادله‌ای انگلیسی واژه‌های «شبیه‌ساز جداکننده هوایی» است. کاربر به هنگام اجرای ASSIM در ابتدا می‌تواند انتخاب کند که مستقیماً وارد کدامیک از مراحل؛ یعنی مرحله کالبیراسیون مدل یا مرحله شبیه‌سازی فرآیند جدایش شود.

شبیه‌سازی و پیش‌بینی خصوصیات محصول مستلزم کالبیراسیون مدل یا تعیین مقادیر پارامترهای مدل وایتن است که برای هر دستگاه جداکننده هوایی مقادیر یکتایی هستند. بنابراین در صورتی که این مقادیر از پیش تعیین شده باشند، می‌توان مستقیماً وارد مرحله شبیه‌سازی شد. شکل (۴) پنجره مربوط به ورود داده‌ها (شامل توزیع دانه‌بندی جریان‌های اصلی اطراف جداکننده هوایی و شدت جریان آنها) در مرحله کالبیراسیون مدل را نشان می‌دهد. همان‌طور که در بالای پنجره

کلیک کردن منوی "Analysis" وجود دارد. از آنجا که شبیه‌سازی می‌تواند به دفعات برای یک دستگاه جداکننده هوایی تحت شرایط عملیاتی متعدد انجام شود، در مرحله کالیبراسیون

ملاحظه می‌شود امکان آنالیز داده‌های وارد شده در این مرحله به صورت جدول و نمودار به صورت بازدهی و توزیع دانه‌بندی تجمعی عبوری جریان‌های درشت‌دانه و ریزدانه با چشم آوری داده



شکل (۳): مراحل مختلف مدلسازی و شبیه‌سازی فرآیند جدایش بهینه‌سازی عملکرد جداکننده‌های هوایی

منطقی بودن کلیه داده‌ها. بررسی داده‌های وارد شده توسط شبیه‌ساز به افزایش دقت و صحت نتایج حاصل از شبیه‌سازی منجر می‌شود.

## ۵- اعتبار سنجی ASSIM

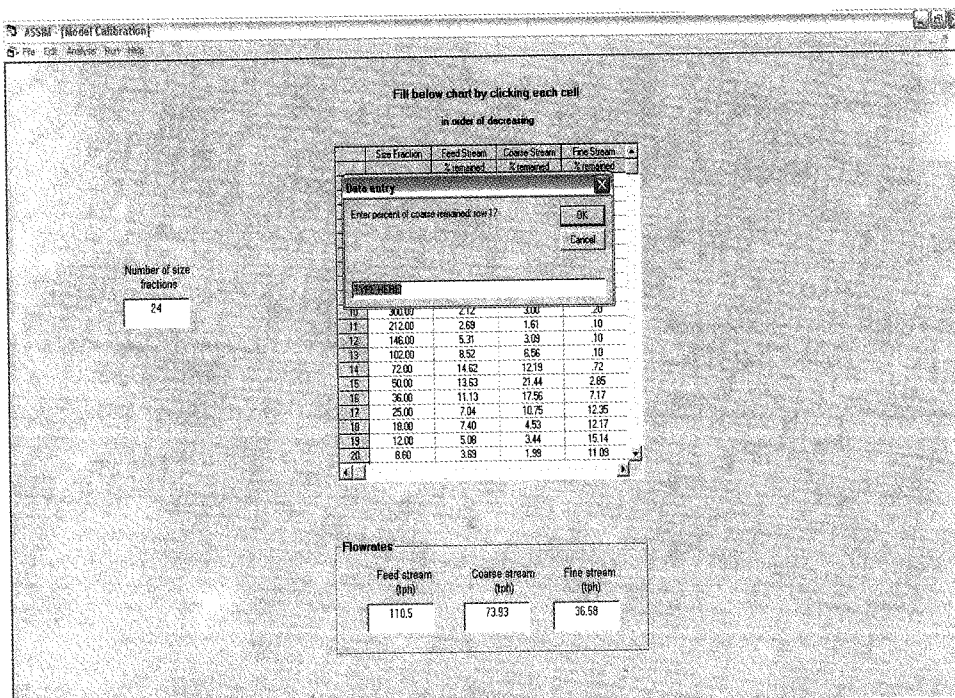
بکارگیری هر شبیه‌سازی مستلزم اعتبارسنجی آن یا به عبارتی مقایسه پیش‌بینی‌های آن با داده‌های واقعی می‌باشد. در توسعه ASSIM از داده‌های متعددی برای بررسی محاسبات استفاده شده است؛ ولی برای بررسی صحت و دقت نتایج حاصل از شبیه‌سازی، دو سری داده تحت شرایط عملیاتی مختلف از اطراف جداکننده پویا؛ که در مدار آسیای کلینکر کارخانه سیمان سفید جی. کی. در هند در حال فعالیت است، نمونه‌گیری شده است. شکل () شماتی ساده شده مدار آسیای کلینکر کارخانه سیمان سفید جی. کی. در هند را نمایش می‌دهد. این دو سری داده؛ که از سه جریان اصلی شامل بار ورودی، درشت‌دانه و ریزدانه نمونه‌گیری شده‌اند، با نرم‌افزار NORBAL3 [۱۴] موازن‌جرم شده‌اند تا خطاهای احتمالی از بین برود.

مدل می‌توان با مشاهده مقادیر پارامترها و ذخیره کردن آنها، در دفعات بعدی مستقیماً وارد مرحله شبیه‌سازی فرآیند جدایش شد؛ در غیر این صورت با کلیک کردن منوی "Run" در این مرحله می‌توان به شبیه‌سازی فرآیند جدایش ذرات اقدام کرد. برای شبیه‌سازی کافی است مقادیر مربوط به خصوصیات خوراک (شامل توزیع دانه‌بندی ذرات و شدت جریان) وارد شود (شکل (۵)).

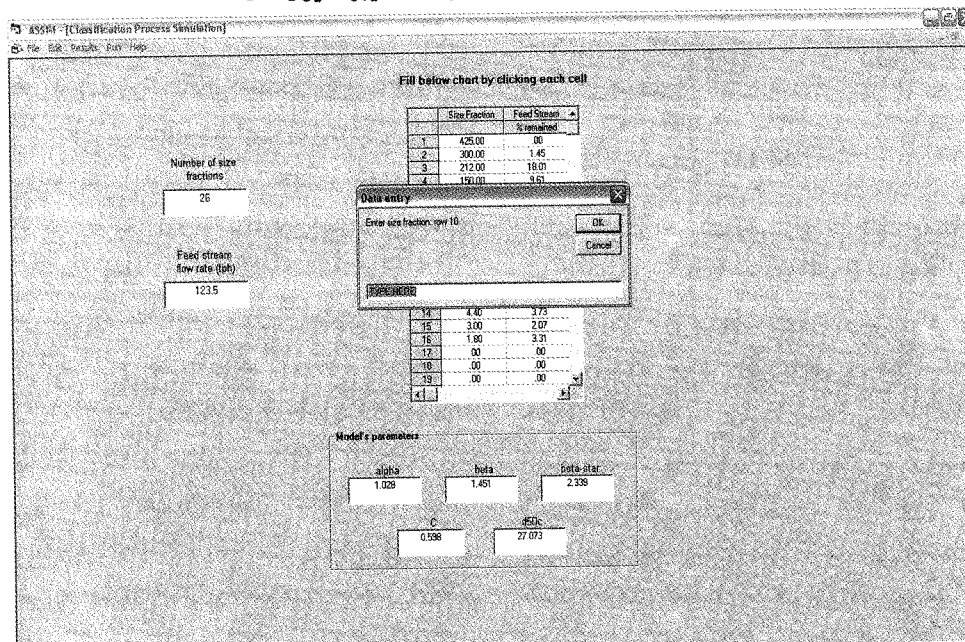
برای مشاهده نتایج مرحله شبیه‌سازی از منوی "Results" استفاده می‌شود. این نتایج به صورت جدول و نمودار در خصوص توزیع دانه‌بندی جریان‌های محصول به صورت درصد مواد باقی‌مانده در هر فراکسیون اندازه یا به صورت تجمعی عبوری و بازدهی قابل مشاهده است. در کلیه مراحل ورود داده امکان ذخیره داده‌ها و در تمامی پنجه‌ها امکان چاپ نتایج به صورت جدول و نمودار وجود دارد. در مراحل مربوط به ورود داده، با درخواست کاربر برای انجام هر عملیاتی، شبیه‌ساز کلیه داده‌های وارد شده را بررسی می‌کند. در صورت ورود داده‌های غیرمنطقی به کاربر اخطار می‌دهد تا تصحیح شود. از جمله خطاهایی که توسط ASSIM بررسی می‌شود عبارتند از بررسی وارد کردن کامل داده و بررسی

کلینکر سیمان در کارخانه سیمان سفید جی.کی. در هند به صورت توزیع تجمعی اندازه ذرات در جدول (۱) با مقادیر واقعی مقایسه شده است. برای مقایسه بهتر، به طور جداگانه تخمین پارامترها با نرم افزار آماری SPSS<sup>TM</sup> انجام گرفته و نتایج در Excel<sup>TM</sup> محاسبه و رسم شده‌اند.

سری اول این داده‌ها برای کالیبراسیون مدل و تعیین مقادیر پارامترهای تابع واپتین استفاده شده است. سری دوم داده‌ها به عنوان داده‌های مستقل؛ که تحت شرایط عملیاتی و زمانی متفاوت نسبت به سری اول داده‌ها تهیه شده‌اند، برای اجرای فرآیند شبیه‌سازی استفاده شده‌اند. نتایج مربوط به شبیه‌سازی فرآیند جدایش جداکننده هوایی پویای مدار آسیای

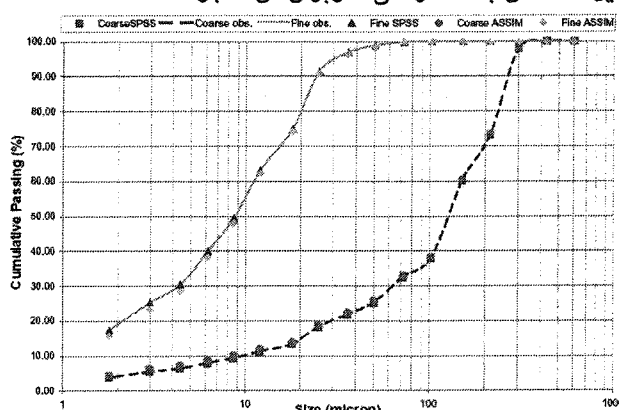


شکل (۴): پنجره ورود داده‌ها در مرحله کالیبراسیون مدل



شکل (۵): پنجره ورود داده‌ها در مرحله شبیه‌سازی فرآیند جدایش

محصولات این جداسازی هوایی داراست. با توجه به دقت تابع وايتن در شبیه‌سازی جداسازی‌های هوایی، ASSIM یک شبیه‌ساز با دقت بالا و کاربرد آسان برای پیش‌بینی خصوصیات محصولات مربوط به انواع جداسازی‌های هوایی می‌باشد. محیطی آشنا مشابه برنامه‌های کاربردی در محیط ویندوز و امکان بررسی نتایج به صورت جدول و نمودار و امکان چاپ آنها از جمله مواردی است که تحلیل و بررسی نتایج را برای کاربران سهل و آسان می‌کند. همچنین زبان انگلیسی برنامه و فایل کمک آن به گستردگی کاربران آن منجر شده است.



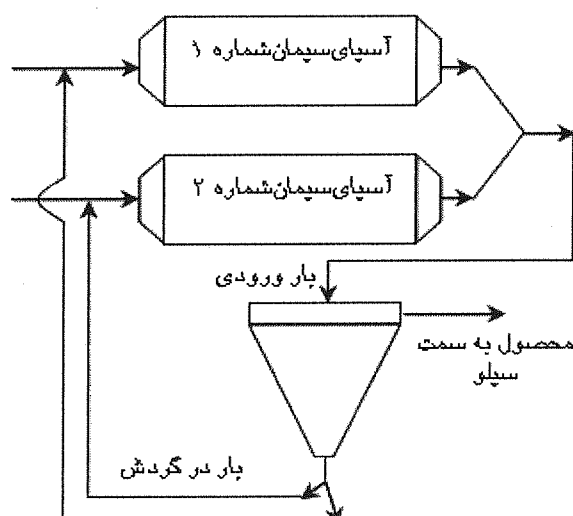
شکل (۷): مقایسه آنالیز ابعادی دو جریان اصلی پس از شبیه‌سازی جداسازی هوایی کارخانه سیمان سفید جی.کی.

#### ۶- نتیجه گیری

تقاضای رو به افزایش محصولات سیمان از یک سو و مصرف بالای انرژی در کارخانه‌های سیمان بخصوص در مدارهای آسیا از سوی دیگر، نیاز به بهینه‌سازی پارامترهای ساختاری جداسازی‌های هوایی و تعیین شرایط عملیاتی بهینه را تشیدی کرده است. مهم‌ترین عامل تعیین کننده در رسیدن به شرایط عملیاتی بهینه، داشتن منحنی بازدهی با شبیه مناسب و حداقل میزان «دور زدن» و «قلاب ماهی» است که استفاده از شبیه‌سازها باعث می‌شود با صرف هزینه و زمان اندک، توزیع‌های اندازه و شدت جریان‌های خروجی جداسازی‌های هوایی را؛ که شامل محصول (جریان ریزدانه) و برگشتی‌ها (جریان درشت‌دانه) می‌باشد، را پیش‌بینی کرد. ASSIM اولین نرم‌افزاری است که بطور خاص به شبیه‌سازی جداسازی‌های هوایی با تکیه بر تابع وايتن پرداخته است. استفاده از این مدل که اساس آن تعریف منحنی بازدهی است باعث شده است تا از این نرم‌افزار بتوان برای شبیه‌سازی انواع جداسازی‌های هوایی اعم از ایستا و پویا استفاده کرد. با ایجاد ارتباط بین ASSIM و BMCS [۲] که یکی از نویسندهای این مقاله آن را توسعه داده است، می‌توان کل مدار آسیای کلینکر سیمان را شبیه‌سازی کرد که نقش مؤثرتری در کاهش مصرف انرژی خواهد داشت.

جدول (۱): مقایسه بین آنالیز ابعادی اندازه گیری شده و شبیه‌سازی شده دو جریان اصلی اطراف جداسازی هوایی مربوط به کارخانه سیمان سفید جی.کی.

اندازه (میکرون)	توزيع اندازه					
	ریزدانه SPSS	ASSIM	واقعی	درشت دانه SPSS	ASSIM	واقعی
۱۰۰	۱۰۰	۱۰۰	۱۰۰	۱۰۰	۱۰۰	۱۰۰
۹۹.۹۸	۹۹.۹۶	۹۹.۹۸	۳۷.۸۷	۳۸.۳۷	۳۸.۰۵	۱۰۲
۹۹.۸۸	۹۹.۸۱	۹۹.۸۸	۲۲.۴۷	۳۳.۳۰	۳۲.۶۶	۷۲
۹۸.۸۵	۹۸.۵۷	۹۸.۸۷	۲۵.۱۳	۲۵.۸۲	۲۵.۳۴	۵۰
۹۶.۸۸	۹۶.۴۷	۹۶.۹۳	۲۱.۶۲	۲۲.۳۷	۲۱.۸۲	۳۶
۹۱.۲۹	۹۰.۸۵	۹۱.۳۳	۱۸.۰۸	۱۸.۸۳	۱۸.۲۸	۲۵
۷۴.۹۱	۷۴.۴۲	۷۵.۰۴	۱۳.۲۹	۱۳.۹۵	۱۳.۴۱	۱۸
۶۳.۰۳	۶۲.۲۳	۶۳.۲	۱۱.۲۱	۱۱.۹۱	۱۱.۲۹	۱۲
۴۹.۴۷	۴۸.۰۷	۴۹.۴۷	۹.۲۵	۱۰.۰۹	۹.۳۷	۸.۶
۴۰.۰۲	۳۸.۲۰	۴۰	۷.۸۷	۸.۷۹	۷.۹۷	۶.۲
۳۰.۴۳	۲۸.۳۷	۳۰.۴	۶.۳۵	۷.۳۰	۶.۴۳	۴.۴
۲۵.۲۹	۲۳.۲۵	۲۵.۲۲	۵.۴۴	۶.۳۴	۵.۵۲	۳
۱۷.۳۸	۱۵.۷۱	۱۷.۳۹	۳.۸۶	۴.۵۸	۳.۹	۱.۸
شدت جریان (tph)						
$d_{50c}$	$C$	$\beta^*$	$\beta$	$\alpha$	پارامترها	
۳۱.۷۱	۰.۲۷۵	۳.۲۳	۰.۸۰۶	۲.۱۲		



شکل (۶): شماتیک ساده شده مدار آسیای کلینکر کارخانه سیمان سفید جی.کی. در هند

شکل () و شکل () مقایسه این نتایج را به ترتیب با رسم نمودار توزیع تجمعی اندازه و بازدهی دو جریان درشت‌دانه و ریزدانه نشان داده‌اند. همان طور که مشاهده می‌شود مقایسه نتایج نشان از دقت بالای ASSIM در پیش‌بینی خصوصیات

[٢] Benzer H.; "Modeling and Simulation of a Fully Air Swept Ball Mill in a Raw Material Grinding Circuit"; Powder Technology; vol. 150; pp. 145-154; 2004.

[٣] Farzanegan A.; Laplante A.R.; Lowther D.A.; "A Knowledge-based System for an Off-line Optimization of Ball Milling Circuits"; Proceedings of 29th CMP Conference; Ottawa; pp. 165-185; 1997.

[٤] Irannajad M.; Farzanegan A.; Razavian S.M.; "Steady-state Simulation of Hydrocyclones in Excel Spreadsheet"; Proceeding of Iranian Mining Engineering Conference-2005; Tehran; Iran; pp. 811-821; 2005.

[٥] Irannajad M.; Farzanegan A.; and Razavian S.M.; "Spreadsheet-based Simulation of Closed Ball Milling Circuits"; Minerals Engineering; vol. 19; pp. 1495-1504; 2006a.

[٦] Irannejad M.; Farzanegan A.; Razavian, S. M.; "Computer Simulation of Ball Mill - Hydrocyclone Closed Circuits in Spreadsheets"; MPMSC (Mineral Process Modelling, Simulation and Control) Conference; Sudbury; Ontario-Canada; 2006b.

[٧] Jankovic A.; "Cement Grinding Optimization"; Minerals Engineering; vol. 17; pp. 1075-1081; 2004.

[٨] Kelsall D.F.; "A Further Study of the Hydraulic Cyclone"; Chemicals Engagement Science; vol. 2; pp. 254 - 273.; 1953.

[٩] Lynch et al.; "Simulation of Closed Circuit Clinker Grinding"; Zement Kalk Gibbs (English Translation); vol. 53; pp. 560-567; 2001.

[١٠] Napier-Munn T.J. et al.; "Mineral Comminution Circui<sup>®</sup> Their Operation and Optimization); 1<sup>st</sup> Edition; JKMR; 1999.

[١١] Plitt L.R.; "The Analysis of Solid - solid Separations in Classifiers"; CIM Bulletin; vol. 64; pp. 42-47; 1971.

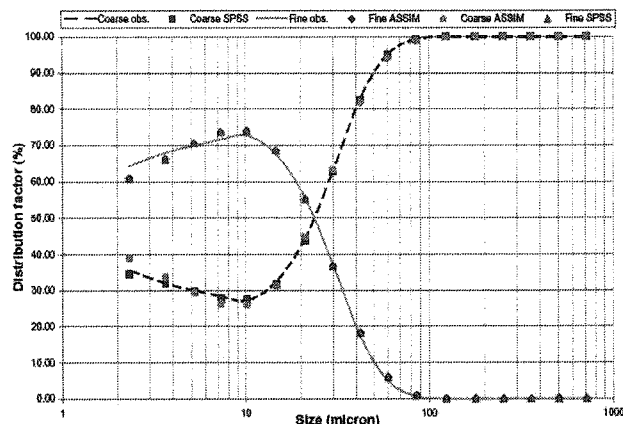
[١٢] Reid K.J.; "Derivation of an Equation for Classifier - Reduced Efficiency Performance Curves"; Can. Met. Quarterly; vol. 10; pp. 253-254; 1971.

[١٣] Rashidi S.; Farzanegan A.; Irannajad M.; "Development of a New Software for Optimization of Air Separators in Cement Plants"; 4<sup>th</sup> Asian Cement Conference; 11-14 June; Tehran, Iran; 2006.

[١٤] Spring R.; "NORBAL 3 (Software for Material Balance Reconciliation)"; Center de Recherché Noranda ; Point-Claire ; Quebec ; 1992.

## ۱- زیرنویس ها

- <sup>۱</sup> Static
- <sup>۲</sup> Dynamic
- <sup>۳</sup> Rotor
- <sup>۴</sup> Screen analysis
- <sup>۵</sup> Laser diffraction
- <sup>۶</sup> Data reconciliation
- <sup>۷</sup> By-pass
- <sup>۸</sup> Fish-hook
- <sup>۹</sup> Kelsall
- <sup>۱۰</sup> Rosin-Rammler
- <sup>۱۱</sup> Plitt/Reid
- <sup>۱۲</sup> Whiten
- <sup>۱۳</sup> JKMR
- <sup>۱۴</sup> Hacettepe
- <sup>۱۵</sup> Air separator simulator
- <sup>۱۶</sup> Benzer
- <sup>۱۷</sup> Altun



شکل (۸): مقایسه بازدهی دو جریان اصلی پس از شبیه‌سازی جداسازنده هوایی کارخانه سیمان سفید جی.کی.

## ۷- تقدیر و تشکر

تهیه‌کنندگان این شبیه‌ساز از آقای پروفسور بنزر ۱۶ و آقای آلتون ۱۷ از دانشگاه حاجت په در ترکیه برای راهنمایی‌های مفید ایشان در طول این تحقیق قدردانی و از کارخانه سیمان سفید جی.کی. در هند برای همکاری در تهیه و ارائه داده‌ها نیز سپاسگزاری می‌کنند.

## ۸- فهرست عالیم

- :E<sub>oa</sub> بازدهی واقعی جریان ریزدانه (درصد):
- :E<sub>ua</sub> بازدهی واقعی جریان درشت دانه (درصد):
- :E<sub>uc</sub> بازدهی تصحیح شده جریان درشت دانه (درصد):
- :E<sub>oc</sub> بازدهی تصحیح شده جریان ریزدانه (درصد):
- :O<sub>i</sub> درصد مواد با اندازه  $d_i$  در جریان ریزدانه:
- :U<sub>i</sub> درصد مواد با اندازه  $d_i$  در جریان درشت دانه:
- :f<sub>i</sub> درصد مواد با اندازه  $d_i$  در جریان بار ورودی:
- :O شدت جریان مواد ریزدانه (تن بر ساعت):
- :U شدت جریان مواد درشت دانه (تن بر ساعت):
- :F شدت جریان بار ورودی (تن بر ساعت):
- :S شبیه‌منحنی در نقطه مربوط به حدجدایش (دقچ جدایش):
- :d<sub>25</sub> اندازه ذرات که ۲۵ درصد مواد از آن مقدار ریزترند:
- :d<sub>75</sub> اندازه ذرات که ۷۵ درصد مواد از آن مقدار ریزترند:
- :d اندازه ذرات (میکرون):
- :d<sub>50c</sub> اندازه ذرات تصحیح شده (میکرون):
- :X اندازه نرمال شده ذره ( $d/d_{50c}$ ):
- :R<sub>f</sub> درصد موادی که دور می‌زند (درصد):
- :C موادی که تحت جدایش قرار می‌گیرند ( $C=1-R_f$ ):
- :β پارامتر قلاب ماهی:
- :β\* پارامتر مجازی که به تعریف حدجدایش کمک می‌کند (یعنی زمانی که  $E=C/2$  ( $d=d_{50c}$ ))
- :α دقت جدایش در تابع وايتن:

## ۹- مراجع

- [۱] Benzer H. et al.; "Modeling Cement Grinding Circuit"; Minerals Engineering; vol. 14; pp. 1469- 1482; 2001.